

## شناسایی الگوهای پیوند از دور مؤثر بر بارش حوضه کارون

داربیوش رحیمی<sup>\*</sup>، خدایار عبداللهی<sup>۲</sup>، سادات هاشمی نسب<sup>۳</sup>

۱. دانشیار اقلیم‌شناسی، دانشکده علوم جغرافیایی، دانشگاه اصفهان

۲. استادیار دانشکده منابع طبیعی دانشگاه شهرکرد

۳. دانشجوی دکتری اقلیم‌شناسی دانشگاه اصفهان

(تاریخ دریافت ۱۴۰۲/۰۶/۱۳۹۴؛ تاریخ تصویب ۲۷/۰۱/۱۳۹۵)

### چکیده

الگوهای پیوند از دور جزء سازندگان کلان‌اقلیم در مقیاس‌های منطقه‌ای و جهانی هستند. شناخت الگوهای پیوند از دور مؤثر بر بارش حوضه آبی کارون بزرگ؛ هدف این پژوهش است. بدین‌منظور داده‌های بارش فصلی ایستگاه‌های موجود در حوضه طی دوره آماری (۱۹۵۶-۲۰۱۲) و ۱۲ الگوی پیوند از دور بررسی شده‌اند. روش انجام کار تحلیل داده‌ها با تکنیک‌های آماری همبستگی و تحلیل مؤلفه‌های اصلی است. جایگاه نخست در این حوضه با ۴۹/۷ درصد بارش در فصل زمستان، فصل پاییز با ۳۴/۹ درصد در جایگاه دوم و فصل بهار با ۱۴/۹ درصد در جایگاه سوم قرار دارد. نتایج بررسی‌ها نشان می‌دهد که بارش‌های پاییزه بیشتر از الگوهای نوسانات جنوبی NINO1+2، NINO4 و SOI تأثیر می‌پذیرند. مقادیر منفی ضریب همبستگی بین بارش فصل پاییز و شاخص SOI و واریانس تبیینی بیش از ۷۷ درصد این شاخص نشانگر آن است که میزان بارش‌های پاییزه تحت تأثیر النینو قرار دارند. تحلیل بارش‌های زمستانه و بهاره نیز بیانگر تأثیر شاخص الگوی اسکاندیناوی در فاز مثبت (SCAN<sup>+</sup>) بر بارش‌ها در این دو فصل است. این شاخص به‌دلیل استقرار در محدوده جغرافیایی - اقلیمی سامانه‌هایی مانند پرفشار دریای سیاه، جبهه قطبی و بادهای غربی تا ۶۸ درصد از تغییرات فصل سرد سال را تبیین می‌کند. بارش‌های تابستانه حوضه عمده‌تاً تابع عوامل محلی هستند و پدیده‌های پیوند از دور در آن مؤثر نیستند.

**کلیدواژگان:** اسکاندیناوی، انسو، بارش فصلی، پیوند از دور، حوضه کارون بزرگ.

خورشیددوست [۱۶] و کاکایپور [۱۴] به صورت گسترده روی تأثیر الگوهای پیوند از دور روی متغیرهای اقلیمی ایران در غرب و شمال غرب، سواحل دریای خزر مطالعات متعددی انجام دادند و نتیجه گرفتند که شاخص‌های انسو، نوسانات اطلس شمالی و دریای شمال- خزر نقش مؤثری در رفتار عناصر جوی بارش و دما به عنوان سازندگان کلان‌اقلیم ایران دارند. احمدی [۱] ۳۴ الگوهای پیوند از دور را روی بارش ایران بررسی کرد و نشان داد الگوهای پیوند از دوری که از مسیر اقیانوس هند وارد ایران می‌شوند، تأثیر زیادی بر رخدادهای بارشی کشور دارند. نصر اصفهانی و همکارانش [۲۰] نشان دادند که نقش فاز منفی نوسان اطلس شمالی در اقلیم منطقه جنوب غرب آسیا مشهود است.

مطالعات صلاحی و همکارانش [۲۴] و [۲۵]؛ پوینده و همکارانش [۱۲]؛ خسروی و همکارانش [۱۵]؛ علیزاده و همکارانش [۳]؛ نظریه و انصاری [۲۲]؛ فلاح قاله‌یی [۷]؛ ناظم‌السادات و همکارانش [۲۱]؛ مسعودیان [۱۷] و [۱۸] و عاشوری و همکارانش [۴] تأثیرات الگوهای پیوند از دور روی خشکسالی‌ها، توزیع فصلی بارش، خشکسالی‌های فصلی و شدت خشکسالی و استفاده از داده‌های پیوند از دور در شبیه‌سازی بارش و دما و توزیع فصلی بارش و نوسانات دما در مناطق مختلف کشور پژوهش کرده‌اند. نتایج این مطالعات نشان‌دهنده تأثیر زیاد فاز مثبت انسو روی بارش‌های پاییزه در مناطق مختلف کشور، شدت خشکسالی و توزیع ماهانه بارش است. بررسی منابع نشان می‌دهد که الگوهای پیوند از دور از سازندگان کلان‌اقلیم ایران محسوب می‌شوند. در همین راستا حوضه آبی کارون به عنوان پرآب‌ترین حوضه آبی کشور و جایگاه آن در مدیریت منابع آب کشور بررسی می‌شود.

## داده‌ها و روش‌ها

### داده‌ها

حوضه کارون بزرگ شامل دو حوضه کارون و دز است. حوضه آبخیز با وسعتی برابر با ۷۶۵۴۷ کیلومترمربع در غرب و جنوب غرب ایران قرار دارد (شکل ۱). داده‌های بارش ماهانه ایستگاه‌های هواشناسی موجود در حوضه کارون بزرگ (کارون و دز) در دوره آماری ۱۹۵۶- ۲۰۱۲ استفاده شده است (جدول ۱). همچنین از داده‌های

### مقدمه

پدیده‌های جوی به دلیل پیوستگی تابع عوامل گوناگونی در پهنه‌های مختلف جغرافیایی هستند. به گونه‌ای که رخداد برخی پدیده‌ها به ویژه در کنش‌های جوی- اقیانوسی بر پهنه‌های دیگر جهان در مناطق دوردست جغرافیایی اثر دارند. عملکرد این سامانه‌ها روی بارش، دما، خشکسالی، شیوع بیماری‌ها و بحران‌های زیستمحیطی در مناطق مختلف جهان تأثیر دارند.

ماریوتی<sup>۱</sup> و همکارانش [۱۹] با استفاده از آنالیز ترکیبی از وقایع انسو مشخص کردند که هنگام فاز منفی (النینو) بارش‌های پاییزه غرب مدیترانه ۱۰ درصد افزایش می‌یابد. نیکولیس<sup>۲</sup> [۲۳] با انجام تحقیقی درخصوص ارتباط بین پدیده انسو و تغییرات بارش مناطق جنوب حاره نشان داد که مناطق تحت تأثیر انسو، به میزان ۵۰ تا ۳۰ درصد تغییرات بیشتری نسبت به سایر ایستگاه‌ها دارند. وانگ<sup>۳</sup> [۲۹] با کمک تکنیک همبستگی چندمتغیره بین پدیده‌های انسو، نوسانات اطلس شمالی، گردش واکر و سلول هدلی نتیجه گرفت که هرگاه شاخص نوسان اطلس شمالی قوی باشد، گردش اتمسفری واکر و سلول هدلی قوی‌تر می‌شود و بادهای شرقی- غربی در شمال اطلس، مرکز و مناطق حاره‌ای آن آnomالی دارند. روجرز<sup>۴</sup> و همکارانش [۶] تأثیرات نوسانات اطلس، انسو و الگوی آرام شمال آمریکا بر سیل‌های زمستانی دره می‌سی‌سی‌پی را بررسی کردند و نتیجه گرفتند که نوسانات اطلس و الگوی آرام شمال آمریکا بر جریان رودخانه‌های ایالات متحده مؤثرند. کوتیل و تورکیش<sup>۵</sup> [۱۳ و ۲۸]؛ هاتزاکی<sup>۶</sup> و همکارانش [۱۱]؛ تاتلی<sup>۷</sup> [۲۷]؛ سن<sup>۸</sup> و همکارانش [۲۶]؛ تورکس و ارلات<sup>۹</sup> [۲۸] و سینتیا<sup>۱۰</sup> [۵] به بررسی نقش الگوهای پیوند از دور مانند نوسانات اطلس شمالی، نوسان قطبی، شاخص دریای شمال- دریای خزر روی نوسانات دما، بارش، ریزگردها، رخداد دوره‌های خشکسالی و ترسالی و دبی پرداخته‌اند. قویدل و همکارانش [۹ و ۱۰]،

1. Mariotti

2. Nicholis

3. Wang

4. Rogeras

5. Kutiel & Türkès

6. Hatzaki

7. Tatly

8. Sen

9. Türkès & Erlat

10. Cinita

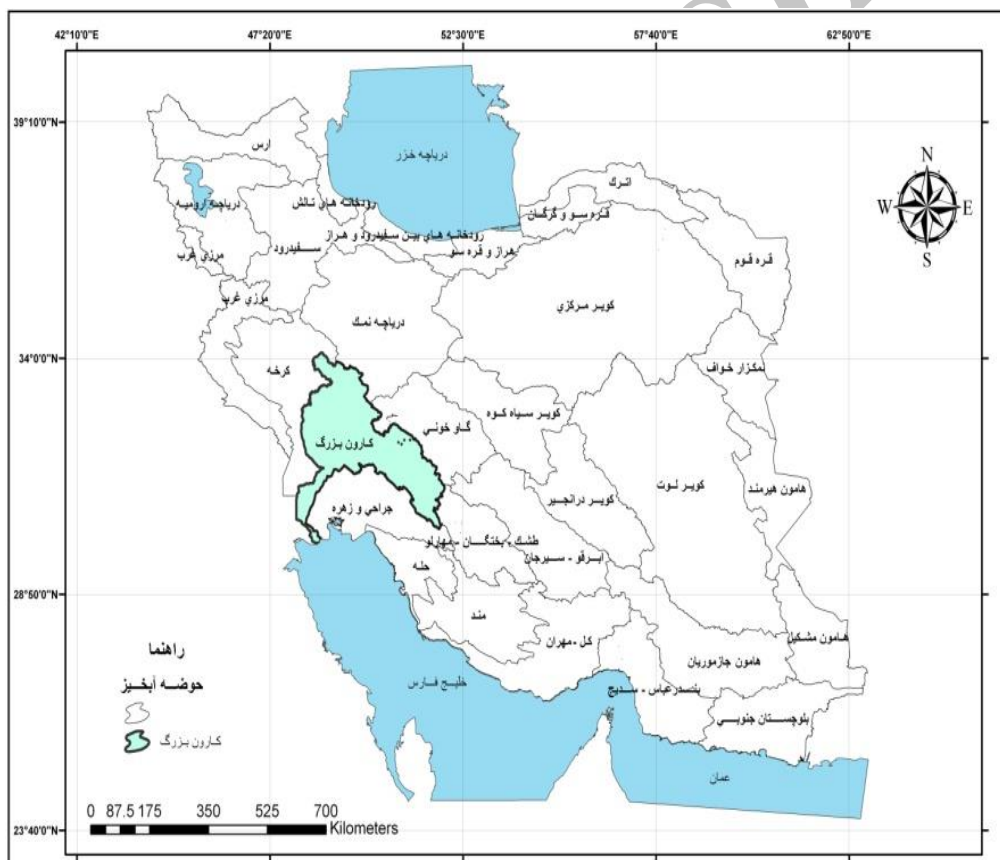
قطبی<sup>۲</sup>، الگوی شرق اطلس- غرب روسیه<sup>۳</sup>، نوسان جنوبی<sup>۴</sup>، الگوی قطبی اوراسیا<sup>۵</sup>، الگوی اسکاندیناوی<sup>۶</sup> و الگوی آرام امریکای شمالی<sup>۷</sup> هستند.

مختص به شاخص‌های پیوند از دور (جدول ۲) موجود در تارنمای NCAR در دوره زمانی (۱۹۵۶-۲۰۱۲) استفاده شد. این الگوها شامل نوسان اطلس شمالی<sup>۱</sup>، نوسان

جدول ۱. توزیع فصلی بارش ایستگاه‌ها (درصد) (۱۹۵۶-۲۰۱۲)

ایستگاه	زمستان	بهار	تابستان	پاییز	ایستگاه	زمستان	بهار	تابستان	پاییز
شهرکرد	۵۱/۹	۱۶/۹	۴۶/۷	۲۰/۳	خرم‌آباد	۳۰/۵	۰/۷	۰/۷	۳۲/۷
کوهرنگ	۵۲/۳	۱۴/۸	۴۶/۳	۰/۴	بروجرد	۳۲/۶	۰/۳	۰/۳	۳۲/۸
اهواز	۴۸/۵	۱۰	۴۵/۳	۱/۳	الیگودرز	۴۱/۳	۰/۱	۰/۱	۳۱/۳
آبدان	۴۸/۷	۱۱/۵	۵۷/۴	۰/۵	یاسوج	۳۹/۷	۰/۱	۰/۱	۳۱/۸
دزفول	۵۳/۴	۱۰/۹	۴۱/۶	۲/۲	ملایر	۳۵/۶	۰/۱	۰/۱	۳۰/۲
ایذه	۵۵/۱	۱۰/۹	۴۸/۳	۰/۲	امیدیه	۳۳/۷	۰/۳	۰/۴	۴۲/۱
مسجد سلیمان	۵۰/۶	۹/۴	۴۹/۷	۰/۵	میانگین	۳۹/۵	۰/۴	۰/۷	۳۴/۹

نگارنده (پایگاه داده سازمان هواشناسی)



شکل ۱. موقعیت محدوده مطالعاتی

1. North Atlantic Oscillation(NAO)
2. Arctic Oscillation(AO)
3. East Atlantic-West Russia
4. Elnino-souther Oscillation(ENSO)
5. Polar Eurasia Pattern(PEP)
6. Scandinavia Pattern
7. Pacific North American(PNA)

## جدول ۲. مشخصات کلی الگوهای بررسی شده

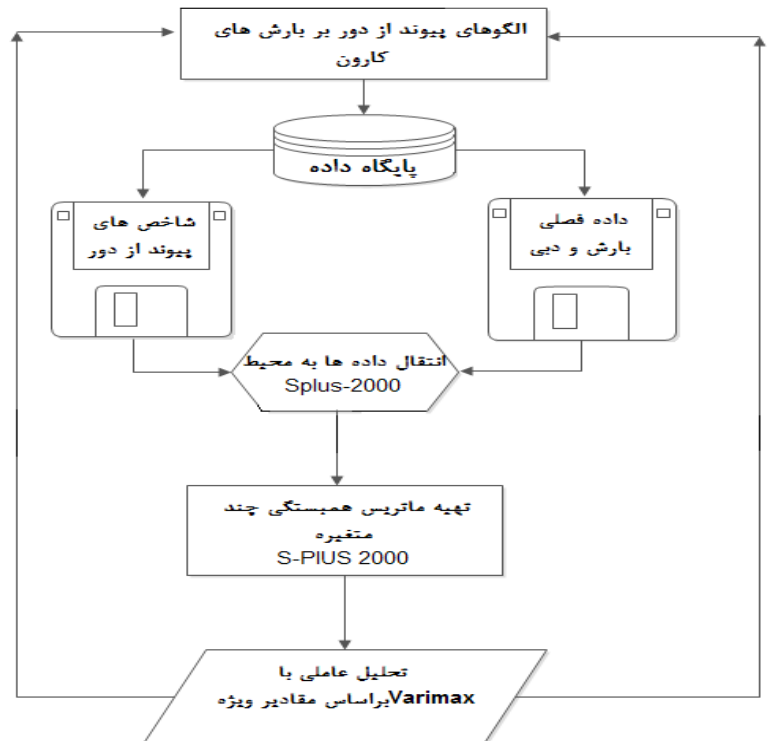
الگوهای پیوند از دور	مخفف لاتین	موقعیت مکانی
الگوی اسکاندیناوی	SCAND	ناحیه اسکاندیناوی، شرق روسیه و غرب مغولستان
آرام امریکای شمالی	PNA	منطقه برون حاره نیم کره شمالی
نوسان اطلس شمالی	NAO	ایسلند
دمای سطح دریا در شرق مناطق حاره ای مرکز آرام	NINO4	مرکز اقیانوس آرام
دمای سطح دریا در شرق حاره ای آرام	NINO1+2	صفر تا $10^{\circ}$ جنوبی و $80^{\circ}$ غربی
دمای سطح دریا در شرق حاره ای آرام	NINO3.4	$5^{\circ}$ شمالی تا $5^{\circ}$ درجه جنوبی و طول $160^{\circ}$ شرقی تا $150^{\circ}$ غربی
نوسانات چندین دهه ای اطلس	AMO	اقیانوس اطلس شمالی
الگوی چندمتغیره آنسو	MEI	مابین جزایر تاهیتی و داروین
نوسانات دهه ای اقیانوس آرام	PDO	اقیانوس آرام شمالی
الگوی اوچی اطلس	AMM	اطلس شمالی
نوسان قطبی	AO	عرض های شمالی و میانی ( $45^{\circ}$ درجه شمالی)
نوسان چینی	SOI	مابین جزایر تاهیتی و داروین

(رابطه های ۲-۴) جدول ۳ مؤثرترین الگوی پیوند از دور در هر فصل مشخص شده است.  
شکل ۲ مدل مفهومی روش تحقیق و الگوریتم انجام آن را نشان می دهد. طبق این مدل موضوع تحقیق به عنوان هدف تحقیق ارائه شده است که در چارچوب آن پایگاه داده های بارش و شاخص های پیوند از دور ایجاد شد. در مرحله بعد داده ها با آزمون های نکویی برآش در سطح اطمینان ۹۵ درصد بررسی و میزان همبستگی چندمتغیره بین داده ها و تحلیل عاملی به شناسایی الگوهای پیوند از دور بر بارش حوضه کارون پرداخته شده است.

روش شناسایی الگوهای پیوند از دور به عنوان پارامترهای مؤثر بر عناصر اقلیمی در مناطقی فرادست از محل وقوع جغرافیایی خود به کمک روش های آماری امکان پذیر است. روش زمین آمار همبستگی از جمله این روش هاست [۳۰]. در این روش ابتدا مقادیر بارش حوضه انتخاب شد، سپس با کمک مدل پیرسون (رابطه ۱) میزان اثربازی بارش حوضه از الگوهای پیوند از دور در سطح اطمینان ۹۵ درصد داده ها مورد آزمون نکویی برآش قرار گرفتند. در ادامه با روش تحلیل عاملی با تکنیک حداقل سازی واریانس (واریماکس) و براساس مقادیر ویژه (-Eigen) معرفی می شود.

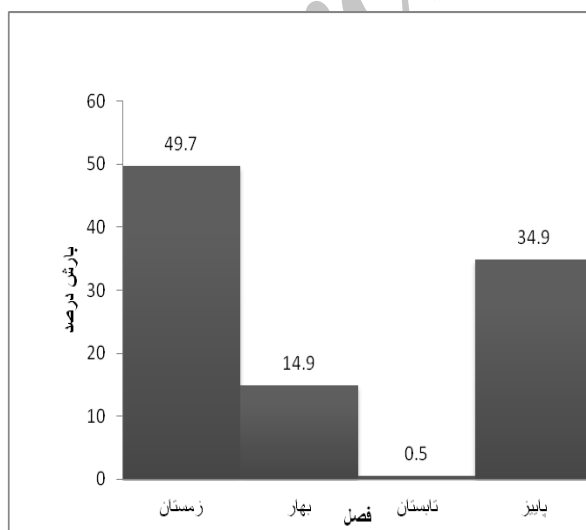
## جدول ۳. روابط محاسباتی (نوری امامزاده، ۱۳۸۲)

پارامتر	رابطه
همبستگی پیرسون (رابطه ۱)	$r = \frac{\sum_{i=1}^n (x_i - \bar{x})(y_i - \bar{y})}{\sqrt{\sum_{i=1}^n (x_i - \bar{x})^2} \sqrt{\sum_{i=1}^n (y_i - \bar{y})^2}}$
حداکثر واریانس (رابطه ۲)	$E(\xi\xi') = E(\gamma^{XX'}\gamma) = \gamma' \Sigma \gamma$
مقدار ویژه (رابطه ۳)	$(\Sigma - \lambda I)\gamma = 0, \gamma' \gamma = 1$
نخستین مقدار ویژه (رابطه ۴)	$(\Sigma - \lambda_1 I)\gamma_1 = 0, \gamma_1' \gamma_1 = 1$



شکل ۲. مدل مفهومی روش تحقیق (ترسیم نگارنده)

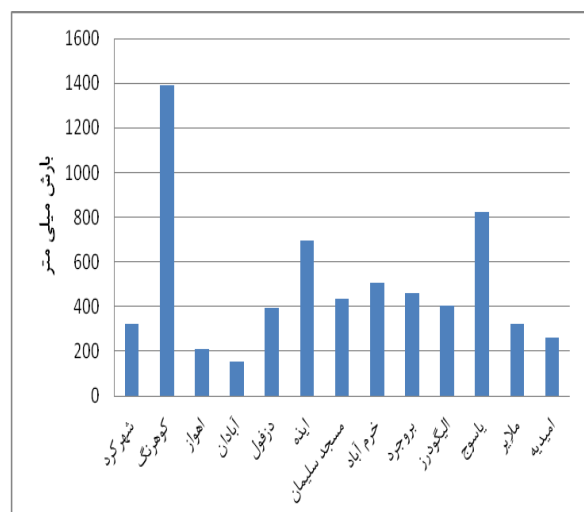
کمترین مقدار را دریافت می‌کنند (جدول ۱). بهطور کلی، فصل زمستان با حدود ۵۰ درصد بارش در رتبه نخست، پاییز با ۳۴/۹ درصد در رتبه دوم و بهار با ۱۴/۹ درصد در رتبه سوم حوضه قرار دارند. خشکترین فصل سال نیز تابستان با ۰/۵ درصد بارش سالانه است. بنابراین، رژیم بارش حوضه یک رژیم زمستانی محسوب می‌شود (شکل ۴).



شکل ۴. نمودار بارش فصلی حوضه (۱۹۵۶-۲۰۱۲)

### بحث و نتیجه‌گیری

بارش سالانه حوضه از ۱۴۰۰ میلی‌متر در ایستگاه کوهرنگ تا ۱۵۰ میلی‌متر در ایستگاه آبادان متغیر است (شکل ۳). علاوه بر آن، توزیع فصلی بارش‌ها نیز نشان می‌دهد که ایستگاه‌های یاسوج با ۵۷/۴ درصد بارش سالانه بیشترین بارش زمستانه و ایستگاه ملایر با ۴۱/۶ درصد بارش سالانه در فصل زمستان



شکل ۳. بارش سالانه ایستگاه‌های حوضه (۱۹۵۶-۲۰۱۲)

### فصل زمستان

طبق داده‌های جدول ۱ و شکل ۴ بین ۴۱/۶ تا ۵۷/۴ درصد بارش سالانه حوضه در فصل زمستان ریزش دارد. علاوه بر آن متوسط توزیع فصلی حوضه نیز نشان می‌دهد که حدود ۵۰ درصد بارش سالانه (۴۹/۷ درصد) حوضه در این فصل به ثبت رسیده و حوضه رژیم زمستانه دارد. نتایج به دست آمده از مدل زمین‌آماری همبستگی نشان می‌دهد که شاخص‌های پیوند از دور با بارش زمستانه جز در ایستگاه یاسوج (۰/۰۵) در سایر ایستگاه‌ها بیشترین همبستگی را با شاخص اسکاندیناوی (SCAN) دارد (جدول ۵). طبق این جدول بیشترین همبستگی در سطح ۹۵ درصد به مقدار ۶۲/۰۰ متعلق به ایستگاه آبادان و ایستگاه‌های اهواز (درصد)، ملایر (۵۵ درصد) و کوهرنگ (۴۵ درصد) در جایگاه‌های بعدی قرار دارند. علاوه بر الگوی پیوند از دور (SCAN)، الگوهای NAO و PDO نیز در جایگاه‌های بعدی قرار دارند. شایان یادآوری است که فاز مثبت شاخص (SCAN) با افزایش فشار در دریای سیاه همراه است که با توجه به نقش اثبات شده پرفشار دریای سیاه بر بارش‌های ایران [۱۷] این موضوع تأیید می‌شود.

### بررسی رابطه الگوهای پیوند از دور و بارش فصلی حوضه

#### فصل پاییز

این فصل شروع ریزش‌های جوی در بیشتر پهنه سرزمینی ایران محسوب می‌شود. بارش‌ها از آبان‌ماه به صورت فرگایر در حوضه کارون آغاز می‌شود. ۳۰ تا ۴۴ درصد بارش سالانه در ایستگاه‌های مختلف در این فصل ریزش می‌کند. نتایج محاسبات آماری داده‌های بارش فصل پاییز با شاخص‌های پیوند از دور در جدول ۴ نشان داده شده است. طبق این جدول بیشترین همبستگی بارش فصلی حوضه با شاخص‌های نوسانات جنوبی شامل (NINO4، NINO3.4، NINO1+2 و SOI) برقرار است. براساس جدول یادشده بارش‌های این فصل با شاخص‌های انسو (NINO3.4، NINO1+2، NINO4) رابطه مستقیم و ضریب همبستگی مشتث و با شاخص SOI رابطه معکوس دارد که بیانگر افزایش بارش‌های پاییزه در فاز منفی (النینو) شاخص نوسان جنوبی است. این یافته در مطالعات قبلی‌ای که در مناطق مختلف کشور انجام گرفته است نیز تأیید شده است.

جدول ۴. میزان همبسته‌بودن بارش فصلی پاییز با شاخص‌های پیوند از دور در سطح ۹۵ درصد (۱۹۵۶-۲۰۱۲)

ایستگاه	SCAN	MEI	Nino1+2	Nino3+4	Nino4	PDO	AMM	AO	NAO	PNA	SOI
آبادان	۰/۰۱	۰/۱۷	۰/۱۶	۰/۱۷	۰/۱۲	۰/۰۷	-۰/۱۳	-۰/۰۳	-۰/۰۱	-۰/۰۵	-۰/۲۳
امیدیه	۰/۰۲	۰/۵۸	۰/۴۲	۰/۴۲	۰/۶	-۰/۰۱	-۰/۲	-۰/۰۳	-۰/۰۶	-۰/۰۶	-۰/۰۶
الیگوذرز	۰/۲۵	۰/۵	۰/۲۴	۰/۴۷	۰/۵۰۱	-۰/۰۲۳	-۰/۳۲۲	-۰/۱۲۷	-۰/۲۸۳	-۰/۱۰۶	-۰/۴۲۲
اهواز	۰/۰۲۷	-۰/۲۶۸	-۰/۰۳۲	-۰/۲۴۱	-۰/۰۲۱۶	-۰/۰۱۲۵	-۰/۰۹۳	-۰/۰۶۳	-۰/۰۶۰	-۰/۰۲۴۱	-۰/۴۶۵
ایذه	۰/۱۹۶	۰/۶۰۰	۰/۳۱۰	۰/۵۵۷	۰/۵۹۹	-۰/۰۴۱۳	-۰/۰۵۷۸	-۰/۱۰۵	-۰/۲۹۰	-۰/۲۴۶	-۰/۶۳۴
بروجرد	۰/۱۸۷	۰/۳۷۳	۰/۱۴۲	۰/۳۵۳	۰/۳۸۷	-۰/۰۷۵	-۰/۰۴۲	-۰/۰۸۰	-۰/۳۴۰	-۰/۰۳۳	-۰/۳۱۳
خرم‌آباد	۰/۰۵۱	۰/۳۰۸	۰/۱۷۷	۰/۳۰۱	۰/۳۱۲	-۰/۰۲۹	-۰/۰۲۴	-۰/۰۲۶	-۰/۲۶۶	-۰/۲۳۳	-۰/۳۳۴
دزفول	۰/۱۰۰	۰/۵۲۰	۰/۴۶۲	۰/۴۴۳	۰/۴۸۷	-۰/۰۲۹۶	-۰/۰۲۹۵	-۰/۱۷۵	-۰/۱۸۰	-۰/۱۳۳	-۰/۴۴۹
شهرکرد	۰/۰۱۹	۰/۳۰۳	۰/۱۸۳	۰/۳۵۶	۰/۳۴۱	-۰/۰۲۰	-۰/۰۲۰	-۰/۱۸۹	-۰/۱۴۱	-۰/۱۳۱	-۰/۴۳۳
کوهرنگ	-۰/۰۱۹	-۰/۴۳۰	۰/۰۴۳۰	۰/۱۶۶	۰/۴۷۱	-۰/۰۷۷	-۰/۰۳۰۷	-۰/۱۹۵	-۰/۲۹۲	-۰/۱۵۵	-۰/۴۷۲
ملایر	۰/۳۱۹	۰/۱۹۸	-۰/۰۳۱	۰/۱۹۸	۰/۱۹۸	-۰/۰۴۰۱	-۰/۰۲۲	-۰/۰۲۲	-۰/۴۱۶	-۰/۰۷۵	-۰/۱۳۹
یاسوج	۰/۰۳۲	۰/۳۹۹	۰/۳۴۱	۰/۳۵۰	۰/۳۳۶	-۰/۰۴۰۱	-۰/۰۱۶۵	-۰/۱۷۶	-۰/۱۹۲	-۰/۰۹۹	-۰/۳۵۵
مسجد سلیمان	۰/۰۲۵	۰/۶۶۷	۰/۴۷۴	۰/۶۱۸	۰/۵۸۵	-۰/۰۴۸۶	-۰/۰۲۵۰	-۰/۳۰۳	-۰/۱۱۹	-۰/۱۱۹	-۰/۵۶۶

جدول ۵. میزان همبسته‌بودن بارش فصل زمستان با شاخص‌های پیوند از دور در سطح ۹۵ درصد (۲۰۱۲–۱۹۵۶)

SOI	PNA	NAO	AO	AMM	PDO	Nino4	Nino3+4	Nino1+2	MEI	SCAN	ایستگاه
-۰/۰۴۶	-۰/۰۳۹	-۰/۲۸۱	-۰/۰۰۹	-۰/۰۱۱	-۰/۰۱۵	-۰/۰۱	-۰/۰۰۷	-۰/۰۴۷	-۰/۰۳۲	-۰/۷۱۵	آبادان
-۰/۱۴۳	-۰/۰۹۴	-۰/۱۲	-۰/۰۴۴	-۰/۱۴۶	-۰/۰۱۳	-۰/۱۳	-۰/۱۶	-۰/۰۳۴	-۰/۱۸۸	-۰/۱۳	امیدیه
-۰/۱۶	-۰/۰۵	-۰/۱۳	-۰/۰۱۴	-۰/۰۱۵	-۰/۰۳۶	-۰/۰۳	-۰/۰۰۴	-۰/۰۱۶	-۰/۰۱۱	-۰/۰۲۹	الیگودرز
-۰/۰۳	-۰/۰۱۳	-۰/۰۲۴	-۰/۰۰۴	-۰/۰۰۶	-۰/۰۶	-۰/۰۳	-۰/۰۰۷	-۰/۰۰۷	-۰/۰۰۵	-۰/۰۶۲	اهواز
-۰/۰۱۵	-۰/۰۰۹	-۰/۰۰۸	-۰/۰۰۵	-۰/۰۱۵	-۰/۰۱۵	-۰/۰۳	-۰/۰۰۳	-۰/۰۰۹	-۰/۰۱۲	-۰/۰۳	ایذه
-۰/۰۴	-۰/۰۳۲	-۰/۰۰۸	-۰/۰۰۷	-۰/۰۱۲	-۰/۰۳۲	-۰/۰۲	-۰/۰۱۶۶	-۰/۰۲۴	-۰/۰۳	-۰/۰۳	بروجرد
-۰/۰۹	-۰/۰۱۳	-۰/۰۰۵۵	-۰/۰۰۳	-۰/۰۰۵۲	-۰/۰۰۵	-۰/۰۰۲۲	-۰/۰۰۲	-۰/۰۰۴	-۰/۰۰۳	-۰/۰۳۳	خرم‌آباد
-۰/۰۷	-۰/۰۱۴	-۰/۰۱۸	-۰/۰۰۵	-۰/۰۱۲	-۰/۰۰۲	-۰/۰۱۵	-۰/۰۱۷	-۰/۰۱۷	-۰/۰۱۳	-۰/۰۲۸۶	دزفول
-۰/۰۱۶	-۰/۰۰۴	-۰/۰۱۸	-۰/۰۱۳	-۰/۰۰۶	-۰/۰۰۶	-۰/۰۰۹۴	-۰/۰۰۸	-۰/۰۱۸	-۰/۰۱۴	-۰/۰۲۷	شهرکرد
-۰/۰۴۵	-۰/۰۲۷	-۰/۰۱۷	-۰/۰۲۲	-۰/۰۰۴۵	-۰/۰۴۴	-۰/۰۳	-۰/۰۳۶	-۰/۰۲۱	-۰/۰۴۵	-۰/۰۴۵	کوهرنگ
-۰/۰۴۲	-۰/۰۰۹	-۰/۰۱۶	-۰/۰۰۶۵	-۰/۰۰۴	-۰/۰۵۴	-۰/۰۲۷	-۰/۰۲۹	-۰/۰۲	-۰/۰۳۷	-۰/۰۵۵	ملایر
-۰/۰۴۶	-۰/۰۱۵	-۰/۰۰۲	-۰/۰۰۶	-۰/۰۰۴	-۰/۰۱۶	-۰/۰۲۷	-۰/۰۳۵	-۰/۰۲۵	-۰/۰۴۱	-۰/۰۰۵	یاسوج
-۰/۰۱۵	-۰/۰۰۳۵	-۰/۰۱۴	-۰/۰۰۰۸	-۰/۰۱۷	-۰/۰۱۶	-۰/۰۰۱۳	-۰/۰۰۲	-۰/۰۰۸	-۰/۰۰۹	-۰/۰۲۷	مسجد سلیمان

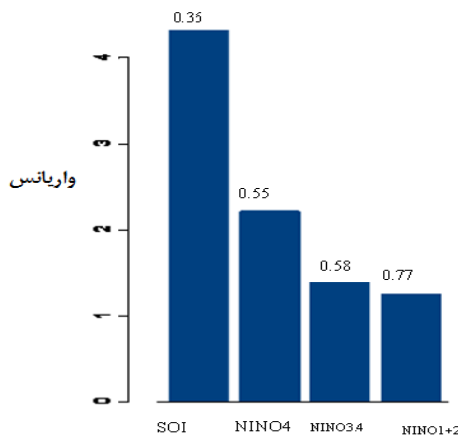
مقایسه با فصل زمستان نشان‌دهنده کاهش نقش الگوی اسکاندیناوی بر بارش منطقه و همچنین جابه‌جایی آن از نظر مکانی است. این مسئله با تحلیل‌های صورت‌گرفته بر سامانه‌های مؤثر بر بارش جنوب غرب ایران [۱۷] و مسیر الگوهای همدید [۲] هماهنگی مناسبی را نشان می‌دهد. به‌گونه‌ای که فصل بهار فصل کاهش ورود این سامانه‌ها است و سبب کاهش شدید بارش در جنوب غربی ایران می‌شود. براساس جدول ۶ شدت این همبستگی در ایستگاه‌های استان خوزستان نسبت به سایر ایستگاه‌ها بیشتر است.

فصل بهار  
مقدار بارش این فصل بین ۹ تا ۲۶ درصد بارش سالانه در ایستگاه‌های امیدیه و مسجد سلیمان و ملایر متغیر است. نتایج تحلیل‌های آماری بارش با الگوهای پیوند از دور نشان می‌دهد که بیشترین همبستگی بارش بهاره با الگوی اسکاندیناوی در فاز مثبت برقرار است (جدول ۶). طبق جدول ۶ بیشترین مقدار همبستگی بین الگوی اسکاندیناوی و بارش‌های فصل بهار در ایستگاه‌های مسجد سلیمان، امیدیه، ایذه و یاسوج و کمترین مقدار در ایستگاه شهرکرد برقرار است. تحلیل نوسانات ضریب همبستگی به‌ویژه در

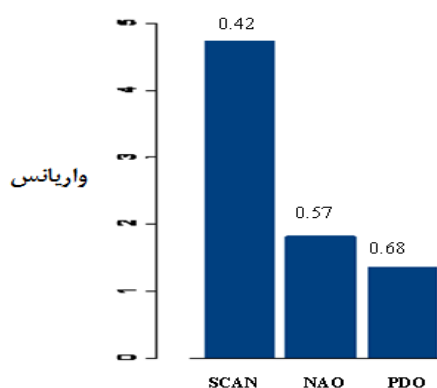
جدول ۶. میزان همبسته‌بودن بارش فصل بهار با شاخص‌های پیوند از دور در سطح ۹۵ درصد (۲۰۱۲–۱۹۵۶)

SOI	PNA	NAO	AO	AMM	PDO	Nino4	Nino3+4	Nino1+2	MEI	SCAN	ایستگاه
-۰/۰۵۴	-۰/۲	-۰/۰۷	-۰/۰۱۶	-۰/۰۰۱	-۰/۰۰۵	-۰/۰۰۴	-۰/۰۰۸	-۰/۰۰۵	-۰/۰۰۴	-۰/۰۲۸	آبادان
-۰/۰۱۳	-۰/۰۰۴	-۰/۰۱	-۰/۰۱۶	-۰/۰۱۴	-۰/۰۲	-۰/۰۳۳	-۰/۰۱۷	-۰/۰۰۴	-۰/۰۰۶	-۰/۰۴۸	امیدیه
-۰/۰۲۲	-۰/۰۱۶	-۰/۰۱۳	-۰/۰۲۲	-۰/۰۰۰	-۰/۰۲۳	-۰/۰۴۱	-۰/۰۳۱	-۰/۰۰۱	-۰/۰۲	-۰/۰۳۶	الیگودرز
-۰/۰۱	-۰/۰۰۶	-۰/۰۰۲	-۰/۰۱۲	-۰/۰۱	-۰/۰۰۵	-۰/۰۱۲	-۰/۰۱۷	-۰/۰۰۳	-۰/۰۰۴	-۰/۰۲۸	اهواز
-۰/۰۰۳	-۰/۱	-۰/۰۰۵	-۰/۰۱۴	-۰/۰۱۶	-۰/۰۲۲	-۰/۰۳۱	-۰/۰۱۶	-۰/۰۲	-۰/۰۰۱	-۰/۰۴۸	ایذه
-۰/۰۰۴	-۰/۰۲۵	-۰/۰۲	-۰/۰۱۳	-۰/۰۰۹	-۰/۰۳۶	-۰/۰۴۲	-۰/۰۳۰	-۰/۰۱۱	-۰/۰۱۸	-۰/۰۳۵	بروجرد
-۰/۰۰۱	-۰/۰۰۷	-۰/۰۰۳	-۰/۰۰۶	-۰/۰۰۸	-۰/۰۰۱	-۰/۰۱۳	-۰/۰۱۷	-۰/۰۰۵	-۰/۰۰۶	-۰/۰۲۹	خرم‌آباد
-۰/۰۱۰	-۰/۰۰۰۴	-۰/۰۰۶	-۰/۰۰۷	-۰/۰۰۶	-۰/۰۲۵	-۰/۰۰۱	-۰/۰۰۲	-۰/۰۰۷	-۰/۰۲۲	-۰/۰۲۴	دزفول
-۰/۰۰۴	-۰/۰۲۳	-۰/۰۱۶	-۰/۰۱۵	-۰/۰۰۲	-۰/۰۰۱	-۰/۰۱	-۰/۰۱۵	-۰/۰۰۴	-۰/۰۰۱	-۰/۰۲	شهرکرد
-۰/۰۳۴	-۰/۳	-۰/۱۷	-۰/۰۲۸	-۰/۰۰۲	-۰/۰۲۵	-۰/۰۳۳	-۰/۰۵۱	-۰/۰۱۳	-۰/۰۳	-۰/۰۲۷	کوهرنگ
-۰/۰۲۵	-۰/۳	-۰/۱۸	-۰/۰۱۹	-۰/۰۳۴	-۰/۰۳۷	-۰/۰۶۴	-۰/۰۵۶	-۰/۰۰۶	-۰/۰۴۱	-۰/۰۲۵	ملایر
-۰/۰۱۶	-۰/۰۲۳	-۰/۰۱۶	-۰/۰۲۴	-۰/۰۰۱	-۰/۰۲۶	-۰/۰۵	-۰/۰۳۱	-۰/۰۰۴	-۰/۰۱۲	-۰/۰۴۵	یاسوج
-۰/۰۱۴	-۰/۴	-۰/۰۰۵	-۰/۰۳۷	-۰/۰۰۷	-۰/۰۳۱	-۰/۰۲۴۳	-۰/۰۲۵	-۰/۰۰۶	-۰/۰۲۱	-۰/۰۴	مسجد سلیمان

سوم (PDO) ۱۱ درصد تغییرات واریانس (شکل ۶) را توجیه می‌کنند که به صورت تجمعی این سه عامل ۶۸ درصد تغییرات بارش حوضه کارون بزرگ را نشان می‌دهند.



شکل ۵. نمودار واریانس تجمعی مؤلفه‌های اصلی فصل پاییز



شکل ۶. نمودار واریانس تجمعی مؤلفه‌های اصلی فصل زمستان

#### فصل بهار

از میان الگوهای پیوند از دور بررسی شده، سه الگوی SCAN، NAO و PDO مقادیر ویژه ۰/۴۸، ۰/۱۱ و ۰/۱۲۴ را دارند. مهم‌ترین عامل پیوند از دور مؤثر بر بارش فصل بهار در محدوده مطالعه شده هستند. عامل نخست (SCAN) ۳۶ درصد، عامل دوم (NAO) ۱۴ درصد و عامل سوم (PDO) ۱۲ درصد تغییرات واریانس را توجیه می‌کند (شکل ۷) که به صورت تجمعی این سه عامل ۶۲ درصد تغییرات بارش حوضه را نشان می‌دهند.

#### فصل تابستان

این فصل قادر بر این چشمگیر است به گونه‌ای که مقدار آن در تمامی ایستگاه‌های منطقه بین ۱ تا ۲ درصد بارش سالانه است. این میزان بارش ثبت شده نیز بیشتر تابع عوامل محلی مانند رطوبت و توپوگرافی در شرایط همفت بارش‌های کوتاه‌مدت ثبت می‌شود [۸]. اما همین بارش‌های ناچیز نیز از طریق تکنیک ریزگردانی آماری واکاوی شدند که نتایج بیانگر منطبق نبودن بارش‌ها با شاخص‌های پیوند از دور و محلی بودن عامل بارش‌های تابستانه است.

#### شناسایی الگوهای پیوند از دور غالب

همان گونه که در بحث روش تحقیق ارائه شد تعیین الگوی غالب پیوند از دور یکی دیگر از اهداف این مقاله است تا بدین طریق بتوان با شناسایی الگوی پیوند از دور مؤثر بر بارش حوضه و شناسایی ساختار عملکرد آن نسبت به رفتار بارش‌های حوضه شناخت جامعتری پیدا کرد. بدین ترتیب با روش تحلیل عاملی به کمک دو شاخص واریماکس و مقدار ویژه به تفکیک فصل الگوهای پیوند از دور واکاوی شده‌اند.

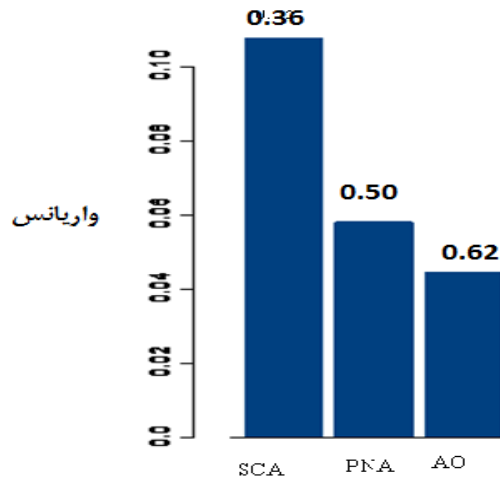
#### فصل پاییز

از میان الگوهای پیوند از دور ۱۱ گانه بررسی شده، الگوهای تحت تأثیر انسو مانند NINO4، NINO1+2، NINO3.4 و SOI با کسب مقادیر ویژه بیشتر از ۱ (مقادیر ویژه ۰/۰۷، ۰/۰۸ و ۰/۱۱) مهم‌ترین عوامل پیوند از دوری هستند. این چهار الگو در مجموع ۷۷ درصد واریانس داده‌ها را تبیین می‌کنند (شکل ۵). عامل نخست ۳۶ درصد، عامل دوم ۱۹ درصد، عامل سوم ۱۳ درصد و عامل چهارم ۱۰ درصد تغییرات واریانس را توجیه می‌کنند. این شاخص‌ها نشان‌دهنده این نکته است که مجموع الگوهای پیوند از دور متأثر از پدیده انسو تأثیر زیادی بر بارش‌های پاییزه حوضه آبی کارون دارند.

#### فصل زمستان

از میان الگوهای پیوند از دور استفاده شده در این مقاله، سه الگوی SCAN، NAO و PDO با مقادیر ویژه ۰/۲۳، ۰/۳۴ و ۰/۱۶ مهم‌ترین عوامل پیوند از دور مؤثر بر بارش فصل زمستان در محدوده مطالعه شده هستند. عامل نخست (SCAN) ۴۲ درصد، عامل دوم (NAO) ۱۵ درصد و عامل

جمله اقداماتی است که در چارچوب مدیریت ریسک توجه می‌شود. این کار از طریق شناخت عوامل مؤثر بر این مخاطرات انجام می‌پذیرد. الگوهای پیوند از دور به عنوان سازندگان کلان‌اقلیم و کارکرد لانه‌گزینی خود در مقیاس‌های منطقه‌ای و جهانی و تأثیر بر مقدار و شدت عناصر اقلیمی به‌ویژه بارش و دما در مدیریت ریسک مؤثرند. براساس نتایج به دست آمده از مقاله بارش حوضه آبی کارون تحت تأثیر لانه‌گزینی این پدیده‌ها قرار دارد. بنابراین، می‌توان با شناخت الگوهای پیوند از دور مؤثر بر بارش حوضه کارون در جهت کاهش تأثیرات مخاطرات اقلیمی خشکسالی و سیلاب اقدام کرد. نتایج بررسی الگوهای پیوند از دور روی بارش حوضه نشان می‌دهد بارش‌های پاییزه بیشتر از الگوهای نوسانات جنوبی (SOI) تأثیر می‌پذیرند. زیادبودن مقدار ویژه، تبیین واریانس و ضریب همبستگی بارش‌های پاییزه با مقادیر منفی SOI نشان می‌دهد که بارش‌های پاییزه حوضه در فاز النینو افزایش یافته‌لذا یک رابطه معکوس بین بارش این فصل با شاخص‌های منفی ENSO برقرار است. این دست‌آورد با نتایج مطالعات نظام‌السادات [۲۱]، خسروی [۱۵] و مسعودیان [۱۷] که روی مناطق دیگر کشور صورت گرفته منطبق است. اما در فصل زمستان و بهار شاخص‌های ضریب همبستگی، مقادیر ویژه و میزان واریانس تبیین شده جزئی و تجمعی الگوهای پیوند از دور نشان می‌دهد که شاخص الگوی اسکاندیناوی در فاز مثبت به افزایش بارش‌ها در این دو فصل منجر می‌شود. با این تفاوت که بیشترین همبستگی در فصل زمستان متعلق به ایستگاه‌های واقع در بخش‌های جنوبی حوضه و در فصل بهار در ایستگاه‌های شمالی آن، به ثبت رسیده است. این تفاوت مکانی احتمالاً با حرکت آونگی (شمالی-جنوبی) شاخص اسکاندیناوی با رژیم بادهای غربی و سامانه‌های بارش‌زای کشور در ارتباط است. از آنجا که الگوهای پیوند از دور ساختار سینوسی در بستر زمان دارند و دارای دوره برگشت‌های تقریباً منظم هستند بنابراین می‌توان با آگاهی از زمان رخداد آنها و در نظر گرفتن زمان تأخیرشان بر منطقه مطالعه‌شده نسبت به پیش‌بینی بارش و رفتار آن (خشکسالی یا سیلاب) در حوضه کارون اقدام کرد و از خسارات این مخاطرات اقلیمی کاست.



شکل ۷. نمودار واریانس تجمعی مؤلفه‌های اصلی فصل بهار

تطبيق نتایج فصلی درباره الگوهای شاخص پیوند از دور نشان می‌دهد که سامانه جوی-اقيانوسی انسو (فاز منفی) که در محدوده اقیانوس آرام و منطقه حاره است در ماه ژانویه رخ می‌دهد بر بارش‌های پاییزه حوضه کارون شمالی با تأخیر ۹ تا ۱۱ ماهه با تبیین واریانس ۷۷ درصد تأثیر دارد. بهبیان دیگر رخداد انسو در فاز النینو در اقیانوس آرام نشانه‌ای از وجود بارش‌های بیشتر از میانگین در فصل پاییز حوضه است. در فصول زمستان و بهار فاز مثبت سامانه جوی اسکاندیناوی با تبیین بیش از ۶۸ و ۶۲ درصد بارش‌های الگوی شاخص پیوند از دور در این دو فصل است. این سامانه به دلیل ماهیت جوی‌بودن، استقرار در نزدیکی محدوده جغرافیایی کشور و حوزه عملکرد سامانه‌های جوی مانند پرفشار دریای سیاه، جبهه قطبی و بادهای غربی آن تأثیرگذاری‌های کمتر از یک ماه دارد. بنابراین، قرار گیری الگوی اسکاندیناوی در فاز مثبت همراه با افزایش بارش و فاز منفی آن همراه با کاهش بارش در این دو فصل است. بنابراین، با توجه به رژیم بارشی حوضه که بیش از ۶۵ درصد بارش آن در زمستان و بهار ریزش دارد، می‌توان با کمک این الگوهای پیوند از دور نسبت به پیش‌بینی دقیق‌تر از بارش‌های حوضه و شرایط هیدرологیکی آن استفاده کرد.

**نتیجه‌گیری**  
مخاطرات اقلیمی مانند خشکسالی، سیلاب با ریسک‌های شدیدی همراه هستند و به همین دلیل مدیریت آن از

## منابع

- [1].Ahmadi, M., Analyze the relationship between Tele-connection patterns and characteristics of rainfall in iran, PhD Thesis climatology, Tarbiat Modares University, supervisor faraj zadeh M,2013. [Persian]
- [2].Alijani, B., The relationship between spatial distribution of air routes with high-level Middle East cyclone, Journal of Geographical Research,1987: vol4. [Persian]
- [3].Alizadeh, A., Erfaniyan M., Ansari H., survey Tele-connection Patterns affecting on \temperature and precipitation patterns around (Mashhad station), Iranian Journal of Irrigation & Drainage,2011: vol 2. [Persian]
- [4].Ashouri,H.,Abrishami,H.,Moradkhani,A., and Tajreshi. MAnalysis Effect ENSO/Elnino of Flow input Zayndrood Dam, Water Recourses Management Conference ,University of Tabriz, 2008. [Persian]
- [5].Cinita, B., Analysis and regionalization of Northern European winter Precipitation based on its relationship with the North Atlantic Oscillation. International Journal Climato. 2003: 23: 1185-1194.
- [6].C.Rogeras,Jeffrey and S.M Coleman,Jill,"Interaction Between the Atlantic Multidecadal Oscillation,El nino/La nina, and PNA in winter Mississippi Vally Stream flow", Geophysical research letters,Department of Geograph,The Ohio state university,Columbus,USA, 2003: 25-1-25-5.
- [7].Falahghalheri, G., Evaluate the roles of climatic signals on spring precipitation fluctuations in Razavi Khorasan Province, Journal of Earth and Space Physics,2011: vol 3. [Persian]
- [8].Farhadi, N., Gandomkar, A., Asakereh, H., Montazeri, M., Analysis of weather conditions combined with heavy rainfall Summer in southern Zagros , Journal of Geographical Research, 2014:vol 115. [Persian]
- [9].Ghavidel Y, Hatami varzaneh D, Rezaei M, The Tele-connection pattern of rainfall changes the atmosphere above the North Sea-Caspian southern coasts of the Caspian,Journal Applied Research of Geographic Sciences, 2013:Vol 31. [Persian]
- [10].Ghavidel Y., Farajzadeh M., Hatami varzaneh D, analysis of the relationship between Tele-connection Pattern North Sea-Caspian and minimum temperatures in Iran, Journal geographical space, 2015:vol 52. [Persian]
- [11].Hatzaki, M., H.A. Flocas, P., Maher as, D., Asimakopoulos, N., Giannakopoulos, C., "Study of future climatic variations of a teleconnection pattern affecting Eastern Mediterranean", Global NEST Journal, 2006: 8 (3): 195-203.
- [12].Poyandeh E.,Moradzadeh.N., Nazmosadat S.M.J., The Effect ENSO on Humidity, 2Th conference Soil and Water Resource , university of Shiraz, 2004. [Persian]
- [13].Kutiel, H., Türkcs, M., New evidences for the role of the North Sea–Caspian Pattern on the temperature and precipitation regimes in continental central Turkey", Geografiska Annaler, 2005: 87 (4): 501–513.
- [14].Kakppoor S., Analyze the effects Tele-connection Patterns North Sea - Caspian of fluctuations in rainfall pattern of the North West of Iran, M.A thesis, climatology, , Tarbiat Modares University, supervisor Ghavidel rahimi Y,2011. [Persian]
- [15].Khosravi M., Karimi S., Saligheh M., Association Polar index with temperature fluctuations in shahrekord, Journal of Geography and Development,2007: vol 9. [Persian]
- [16].Khorshid doost M.A., Ghavidel Y., Abbaszadeh K., The use of macro-scale patterns of atmospheric-oceanic oscillations in precipitation analysis (case study Ahar),2009: Vol 29. [Persian]
- [17].Massodian, S.A.,Climatology of Iran, University of Isfahan publisher.(Book Persian),2011: 276. [Persian]
- [18].Massodian. S.A., The Effect ENSO On Precipitation of Iran, Journal Of Geography and Regional Development Research ,2005 :No 7. [Persian]
- [19].Mariotti,A.,Zeng,N., Lau,K-M,Euro-Mediterranea Rainfall and Enso–seasonally Varing Relationship,Geophysical research letters. , 2002: Vol 29, Issue 12, 1-59.
- [20].Nasre Isfahani, M.A., Ahmadi Givi F. , Moebi alhejeh A.R., The analysis Connection NAO and climate South west Asia, 13 Geophysical Conference of Iran,Tehran,Iran,2010.
- [21].Nazmosadat. M.J, Ansari.B and Pishvaii. M.RAssessment Effect ENSO on Rainfall in Autumn in Iran,university of Shiraz Publisher,2007: 34-45.
- [22].Nzarieh F, Ansari H, Evaluation and the ability of intelligent models to predict monthly rainfall patterns with the help of remote links in Khorasan Razavi ,Journal of Irrigation and Drainage,2013:Vol 2. [Persian]

- [23].Nicholis, N.,Elnino – Southern Oscillation and Rainfall Variability,Journal of climate, 1988 : vol 1,page 418-421.
- [24].Salahi, B., Khorshidost, A.M., and Qhavidel, Y., Effect NAAO on Drought of East Azerbaijan(Iran), Journal of physiographic geographical research Quarterly,2007:45-57. [Persian]
- [25].Salahi, B., Hajezadeh, Z., Analysis of the relationship between the North Atlantic Oscillation index and Atlantic surface temperature variability of rainfall and temperature Lorestan Province, Journal of Geographical Research,2013: vol 110. [Persian]
- [26].Sen, O., Unal, A., Bozkurt, D., Kindap, T., Temporal changes in the Euphrates and Tigris discharges and teleconnections", Environmental Research Letter, 2011: 6 (2): 1-9.
- [27].Tatly, H., Synchronization between the North Sea–Caspian pattern (NCP) and surface air temperatures in NCEP", International Journal of Climatology, 2007: 27: 1171–1187.
- [28].Turkes, M., Erlat, E., Climatological responses of winter Precipitation in Turkey to variability of the North Atlantic Oscillation during the period 1030-2001, Thero. Apple. Climato, 2005: Vol. 78, 33-46.
- [29].Wang,Chunzai,"Enso,Atlantic Climate Variability and Walker and Hadley Circulations", Kulwer Academic publishers,netherland, 2005: 173-202.
- [30].Wilby, R.L., Wigley, T.M.L., Downscaling General Circulation Model output: a review of methods and limitations, Progress in Physical Geography, 1997: 21, 530–548.